

УПРУГОЕ РАССЕЯНИЕ МЕТАСТАБИЛЬНЫХ АТОМОВ $\text{He}(2^{1,3}S)$ АТОМАМИ $\text{Na}(3^2S)$ ПРИ ЭНЕРГИИ 68 мэВ

*E. Ю. Ремета, В. И. Келемен, А. Н. Завилопуло, А. В. Снегурский**

Институт электронной физики Национальной академии наук Украины
88000, Ужгород, Украина

Поступила в редакцию 14 июня 1999 г.

С использованием метода спектроскопии метастабильных состояний впервые экспериментально измерено суммарное дифференциальное сечение упругого рассеяния метастабильных атомов гелия в состояниях 2^3S и 2^1S атомами натрия в основном состоянии при энергии взаимодействия в системе центра масс 68 мэВ. Для анализа экспериментальных данных проведен расчет парциальных фаз рассеяния с использованием метода фазовых функций в приближении оптического потенциала. Выполненный анализ позволил дать более подробную интерпретацию структуры дифференциального сечения. Обсуждаются вычисленные величины интегральных сечений, в частности, ионизации Пеннига, диффузии, вязкости и спинового обмена.

PACS: 34.20.Cf, 34.40.+n

1. ВВЕДЕНИЕ

Задача определения комплексного потенциала взаимодействия в системе, состоящей из возбужденного атома и атома в основном состоянии, и характеристик сопутствующих процессов к настоящему времени в достаточно полном объеме решена для случая взаимодействия двух атомов инертных газов. Что же касается межатомного взаимодействия, одним из партнеров в котором выступает атом металла, то эта проблема остается недостаточно изученной. В то же время данные такого рода весьма важны для анализа процессов, происходящих в активных средах лазеров на парах металлов, в частности ионных лазеров, в плазме различного происхождения, химии газов, жидкости, твердого тела и т. п. [1].

Изучение упругого столкновения атомных частиц является частью общего исследования свойств межатомного взаимодействия и характеристик процесса рассеяния. При этом прецизионные экспериментальные измерения дифференциальных сечений рассеяния и их энергетических зависимостей совместно с теоретическими вычислениями могут способствовать решению важной задачи определения оптического потенциала (см., например, [2]). Поэтому целью данной работы было определение диффе-

ренциального сечения упругого рассеяния (ДСР), а также теоретическое описание его особенностей и столкновительных характеристик для такой системы сильновзаимодействующих частиц как $\text{He}(2^{1,3}S) + \text{Na}(3^2S)$.

2. СХЕМА ТЕОРЕТИЧЕСКОГО РАСЧЕТА

Относительное движение атомов в адиабатическом приближении Борна—Оппенгеймера описывается, как известно, уравнением Шредингера (используется система центра масс, атомные единицы):

$$\left[-\frac{1}{2\mu} \nabla_{\mathbf{R}}^2 + V_{opt}(\mathbf{R}) - E \right] \Psi(\mathbf{R}) = 0, \quad (1)$$

где $V_{opt} = V_R(\mathbf{R}) + iV_I(\mathbf{R})$ — оптический потенциал взаимодействия атомов, E — кинетическая энергия столкновения, μ — приведенная масса атомов, \mathbf{R} — расстояние между ядрами.

В настоящее время имеются теоретические методики получения *ab initio* оптического потенциала для описания межатомного взаимодействия в системе из возбужденного метастабильного атома инертного газа (Rg^*) и атома металла (M) [3–6]. В этих методиках эта система рассматривается как столкновительный автоионизационный комплекс Rg^*M . Полученные оптические потенциалы, характеризующиеся очень большой (несколько сотен мэВ) глуби-

*E-mail: sneg@iep.uzhgorod.ua

ной потенциальной ямы, можно использовать для детального описания процесса упругого столкновения в системе $Rg^* + M$. В работе [2] оптический потенциал рассеяния $\text{He}(2^1S) + \text{Na}(3^2S)$ определялся подгонкой по методу χ^2 дифференциальных сечений рассеяния, вычисленных в полуклассическом приближении, к измеренным экспериментально при энергиях столкновения 52, 92, 132, 188 и 207 мэВ в диапазоне лабораторных углов рассеяния $\theta_L = 5^\circ - 105^\circ$. В работе [3] оптические потенциалы для процессов $\text{He}(2^1S)$, $\text{He}(2^3S) + \text{Na}(3^2S)$ были получены *ab initio* вычислением в терминах резонансной электронной энергии и автоионизационной ширины и использованы для вычисления ДСР в полуклассическом приближении и определения сечения ионизации Пеннинга в довольно широкой области энергий: 10–1000 мэВ. В [4] исходя из таких же предположений получены *ab initio* оптические потенциалы систем $\text{He}(2^3S) + \text{H}$, Li , Na и $\text{He}(2^1S) + \text{Na}$, которые используются для экспериментального и теоретического анализа характеристик электронных спектров процесса ионизации Пеннинга. Аналогичная методика была использована в [5] для систем $\text{He}(2^{1,3}S) + \text{Mg}$, Ca , Sr , Ba . В [6] обобщены значения величины потенциальной ямы действительной части оптического потенциала систем $Rg^* M$ ($Rg = \text{He}$, Ne , Ar , Kr , Xe , $M = \text{Li}$, Na , K , Rb , Cs , Mg , Ca , Sr , Ba , Yb , Hg), полученные на основе электронных спектров высокого разрешения при ионизации Пеннинга. В нашей работе [7] оптический потенциал из [2] был использован для квантовомеханического вычисления ДСР и других характеристик процесса рассеяния $\text{He}(2^1S)$ на $\text{Na}(3^2S)$ при 68 мэВ. Полученное таким образом ДСР использовалось для интерпретации измеренного суммарного сечения процессов $\text{He}(2^{1,3}S) + \text{Na}(3^2S)$. В [8, 9] на основе оптического потенциала из [2] был проведен теоретический фазовый анализ этого процесса при энергиях 52, 80 и 92 мэВ. В работе [10] оптический потенциал рассеяния $\text{He}(2^3S)$ на $\text{Na}(3^2S)$ использовался для полуклассического расчета сечения ионизации Пеннинга и такой интересной характеристики рассеяния триплетного гелия как обменное сечение в широкой области энергий.

Остановимся более подробно на основных особенностях процесса столкновения метастабильного атома гелия с атомами щелочных металлов. Взаимодействие в системе $\text{He}(2^{1,3}S) + \text{Na}(3^2S)$ ($\mu = 6214$ ат.ед.) характеризуется двумя значениями полного спина квазимолекулярных термов. Рассеяние атома гелия в синглетном состоянии происходит по одному дублетному квазимолекулярному терму $2\Sigma^+$, в то время как для триплетного состояния взаимодействие протекает по двум термам — ду-

блетному $2\Sigma^+$ (статистический вес 2/6) и квартетному $4\Sigma^+$ (статистический вес 4/6). Отметим, что взаимодействие по дублетным термам характеризуется комплексным оптическим потенциалом, в то время как по квартетному терму — действительным. Для вычислений по дублетным термам нами использовались расчетные потенциалы из работы [3], а для квартетного терма — потенциал, полученный в [10]. Вещественная часть оптического потенциала в [3] получена в приближении взаимодействующих конфигураций для молекулы NaHe^* с использованием подгонки к правильной асимптотической зависимости — потенциалу Ван-дер-Ваальса. Мнимые части этих оптических потенциалов (автоионизационные ширины) были получены с использованием метода моментов Стильеса при дискретизации представления континуума системы $e^- + \text{NaHe}^*$ в пространстве (L^2). Квартетный потенциал $4\Sigma^+$ определялся на основании правила средних с использованием потенциалов систем $\text{He}(2^3S)-\text{He}(2^3S)$ и $\text{Na}(3^2S)-\text{Na}(3^2S)$ (см. [10]).

Вещественная часть дублетных оптических потенциалов в [3] характеризуется следующими параметрами для состояний гелия $2^1S(2^3S)$: сильным отталкиванием на расстояниях $R \leq 0.2a_0$; нулевым значением при $R_0 \approx 5.75a_0$ (4.45a₀); минимальным значением $V_{Rm} = 300$ мэВ при $R_m = 7.35a_0$ ($V_{Rm} = 740$ мэВ, $R_m = 5.85a_0$); асимптотическим поведением по закону $\propto -C_6/R^6$, $C_6 = 3660$ ат.ед. (2220 ат.ед.), которое «начинается» примерно с $R_a = 8.22a_0$ (6.27a₀). Мнимые части оптических потенциалов в [3] характеризуются почти экспоненциальным поведением при $R \geq 5a_0$ с некоторым отклонением от него при $R < 5a_0$. При этом начиная с $6a_0$ мнимая часть убывает для состояния 2^1S быстрее, чем для 2^3S [3] (например, при $R = 11a_0$ триплетная часть в пять раз больше синглетной). Квартетный потенциал в [10] имеет вид потенциала Ван-дер-Ваальса с положительной добавкой: $-C_6/R^6 + AR^B \exp(-CR)$, $C_6 = 1970$ ат.ед. (ср.: $C_6 = 2220$ ат.ед. для 2^3S [3]), $A = 0.0205$ ат.ед., $B = 4.81$, $C = 1.206a_0^{-1}$.

Малость энергии столкновения по сравнению с глубиной потенциальной ямы требует, по нашему мнению, чтобы теоретическая методика была в основном квантовомеханической, в то время как обычно используются различные модификации полуклассического приближения, поэтому теоретический расчет фаз рассеяния проводился нами с использованием метода фазовых функций [11, 12] с комплексным оптическим потенциалом.

Система уравнений для комплексной фазовой функции $\delta_l(E, R) = \varepsilon_l(E, R) + i\eta_l(E, R)$ получается из (1) и имеет вид

$$\begin{aligned} \frac{d\varepsilon_l}{dR} &= -\frac{1}{4k\eta_l} \left\{ V_R [(1+\eta_l)^2(j_l \cos \varepsilon_l - n_l \sin \varepsilon_l)^2 - \right. \\ &\quad \left. - (1-\eta_l)^2(j_l \sin \varepsilon_l + n_l \cos \varepsilon_l)^2] + 2V_I(1-\eta_l^2) \times \right. \\ &\quad \times (j_l \cos \varepsilon_l - n_l \sin \varepsilon_l)(j_l \sin \varepsilon_l + n_l \cos \varepsilon_l) \}, \\ \frac{d\eta_l}{dR} &= \frac{1}{2k} \left\{ V_I [(1+\eta_l)^2 \times \right. \\ &\quad (j_l \cos \varepsilon_l - n_l \sin \varepsilon_l)^2 - \\ &\quad - (1-\eta_l)^2(j_l \sin \varepsilon_l + n_l \cos \varepsilon_l)^2] - \\ &\quad - 2V_R(1-\eta_l^2)(j_l \cos \varepsilon_l - n_l \sin \varepsilon_l) \times \\ &\quad \times (j_l \sin \varepsilon_l + n_l \cos \varepsilon_l) \} \end{aligned} \quad (2)$$

с начальными условиями

$$\varepsilon_l(E, 0) = 0, \quad \eta_l(E, 0) = 1, \quad (3)$$

где $\eta_l(E, R) = \exp[-2\bar{\eta}_l(E, R)]$, $k^2 = 2\mu E$, а $j_l \equiv j_l(kR)$, $n_l \equiv n_l(kR)$ — функции Рикката—Бесселя. Действительную $\varepsilon_l(E)$ и мнимую $\bar{\eta}_l(E)$ части парциальной фазы рассеяния $\delta_l(E)$ получают из соответствующих фазовых функций:

$$\varepsilon_l = \lim_{R \rightarrow \infty} \varepsilon_l(E, R), \quad \bar{\eta}_l(E) = -\frac{1}{2} \ln \lim_{R \rightarrow \infty} \eta_l(E, R) \quad (4)$$

при $R \rightarrow \infty$.

Численное интегрирование системы (2), которое должно начинаться с некоторого конечного расстояния $r > 0$, сопряжено с большими трудностями вследствие сильного отталкивательного взаимодействия на малых расстояниях и сингулярного поведения $n_l(kR)$ для $l > 0$. В работе [11] рассмотрено решение этой задачи для трех типов поведения потенциала взаимодействия $V(R)$ при $R \rightarrow 0$: несингулярного (или слабо сингулярного), $R^2V(R) \rightarrow 0$; сильно сингулярного, $R^2V(R) \rightarrow \infty$; промежуточного между двумя указанными, $R^2V(R) = \text{const}$. Потенциал взаимодействия в нашей задаче соответствует первому типу. Поэтому начальное выражение для $\delta_l(E, r)$ будет следующим:

$$\varepsilon_l(E, r) \approx -\frac{1}{k} \int_0^r dR j_l^2(kR) V_R(R), \quad (5)$$

$$\eta_l(E, r) \approx 1.$$

Здесь использовано то, что при достаточно малых r в уравнении для $\varepsilon_l(E, R)$ остается только первое слагаемое, в котором пренебрегается вторым и третьим членами после возвведения в квадрат. Пренебрежение означает, что для малых l (в нашем случае ≤ 30) и при использовании разложения для $j_l(kR)$

$$|\varepsilon_l(E, r)| \ll \frac{(kr)^{2l+1}}{(2l+1)!!(2l-1)!!}, \quad (6)$$

и тогда для $r \rightarrow 0$

$$\varepsilon_l(E, r) \approx -\frac{k^{2l+1}}{[(2l+1)!!]^2} \int_0^r dR V_R(R) R^{2l+2}. \quad (7)$$

Заметим, что в [7] получены аналитические выражения для $\varepsilon_l(E, r)$ и $\eta_l(E, r)$ на малых расстояниях ($kr \leq 0.05$) при использовании оптического потенциала из [2]. Вещественная часть этого потенциала имеет вид модифицированного двойного потенциала Морзе без правильного ван-дер-ваальсовского асимптотического поведения, а мнимая часть — простую экспоненциальную зависимость: $V_I(R) = 40 \exp(-1.85R)$ (в ат.ед.). Полученные в [7] выражения показывают сильную зависимость искомых частей фазовой функции $\delta_l(E, r)$ от орбитального момента l , волнового вектора k и параметров данного оптического потенциала.

Система уравнений (2) с начальными условиями (3) интегрировалась нами численно методом 4-го порядка типа «предсказание—коррекция» с автоматическим контролем величины шага. Здесь использовалось предсказание по Адамсу—Башфорту с коррекцией по Адамсу—Мултону и модификаций [13]. Согласно указанным методам, вычисление парциальных фаз проводилось с точностью 10^{-4} рад.

Вычисление фаз рассеяния по дублетным термам для орбитальных моментов $l \geq 150$, начиная с которых вещественная часть фаз ε_l меньше 0.08 рад, а мнимая часть $\bar{\eta}_l$ практически равна нулю ($< 10^{-16}$ рад), проводилось в полуклассическом приближении. Расчет фаз для квартетного терма осуществлялся только в полуклассическом приближении. Для используемой нами величины энергии столкновения 68 мэВ вычисление фаз проводилось до $l_{max} = 660$ (для двух $^2\Sigma^+$ -термов) и до $l_{max} = 300$ (для одного $^4\Sigma^+$ -терма). Следует заметить, что значения фаз при решении уравнений (2)–(4) начиная с $l \geq 145$ стремились к полуклассической величине и при $\varepsilon_l < 0.09$ рад подчинялись зависимости $\propto l^{-5}$ [14], обусловленной рассеянием на потенциале Ван-дер-Ваальса. Конечное число учитываемых парциальных волн диктовалось величиной фаз $\varepsilon_l \leq 10^{-4}$ рад. Суммируя все сказанное выше по поводу вычислительного алгоритма и использования полуклассического приближения, можно утверждать, что мы гарантированно получали три значащих цифры в сечениях как дифференциального, так и интегрального типов.

Переходами между термами $^2\Sigma^+$ и $^4\Sigma^+$ (для $\text{He}(2^3S) + \text{Na}(3^2S)$ -рассеяния), обусловленными спин-орбитальным взаимодействием, мы пренебрегали, и расчет фаз для каждого терма проводился

независимо. Это приближение вполне удовлетворительно, ибо взаимодействию между атомами в квазимолекуле соответствуют Σ -термы, когда спин-орбитальное взаимодействие в первом приближении (по проекции полного спина) равно нулю и является весьма малым как во втором приближении, так и в первом по спин-спиновому взаимодействию [15]. Таким образом, предложенная нами методика вычислений содержит как квантовое, так и полуклассическое описание.

Найденные парциальные фазы рассеяния $\delta_l(E)$ были использованы для нахождения дифференциальных сечений упругого рассеяния $d\sigma_{el}/d\Omega_c$ [14, 15]:

$$\frac{d\sigma_{el}(E, \theta_c)}{d\Omega_c} = \frac{g}{4k^2} \left| \sum_l (2l+1)(S_l-1) P_l(\cos \theta_c) \right|^2, \quad (8)$$

$$S_l = \exp[2i\delta_l(E)],$$

где статистические веса составляют $g = 1$ для $\text{He}(2^1S)$, $g = 1/3$ для $\text{He}(2^3S)$ в случае дублетных термов и $g = 2/3$ для квартетного терма.

Зависимость (по l) вещественных частей парциальных фаз для 1S (3S)-рассеяния по ${}^2\Sigma^+$ -термам имеет максимум при $l = 37$ (28). Это означает, что рассеяние характеризуется такой чертой, как сияние (глория) на малые углы.

Дифференциальные сечения упругого рассеяния синглетного и триплетного метастабильных состояний атома гелия на атоме натрия для энергии 68 мэВ, рассчитанные нами в системе центра масс во всем диапазоне углов, приведены на рис. 1, а в лабораторной системе с учетом экспериментального диапазона углов рассеяния — на рис. 2. Как и следовало ожидать, угловая зависимость сечений обладает сильной интерференционной структурой. Сравнение дублетных ДСР для $\text{He}(2^1S)$ и $\text{He}(2^3S)$ (рис. 1, кривые 1 и 2) при этом показывает, что они имеют как низкочастотную (более выраженную для синглетного состояния), так и высокочастотную структуру. Квартетное же ДСР (кривая 3) имеет только высокочастотную структуру (напомним, что квартетные фазы рассеяния вычислены полуклассически). Величина квартетного ДСР в диапазоне углов ($\sim 0.5^\circ$ – 150°) несколько превышает дублетное сечение для триплетного состояния (ср. кривые 3 и 2) и сопоставима с ДСР для синглетного (кривая 1). Поэтому суммарное по обоим термам ДСР для триплетного состояния (кривая 4) носит в основном черты квартетного ДСР, кроме области углов $\theta_c = 150^\circ$ – 180° .

Таким образом, можно отметить, что приведенным на рис. 1 теоретическим дифференциальным сечениям упругого рассеяния как по отдельным термам (кривые 1, 2, 3), так и по суммарным (кривые

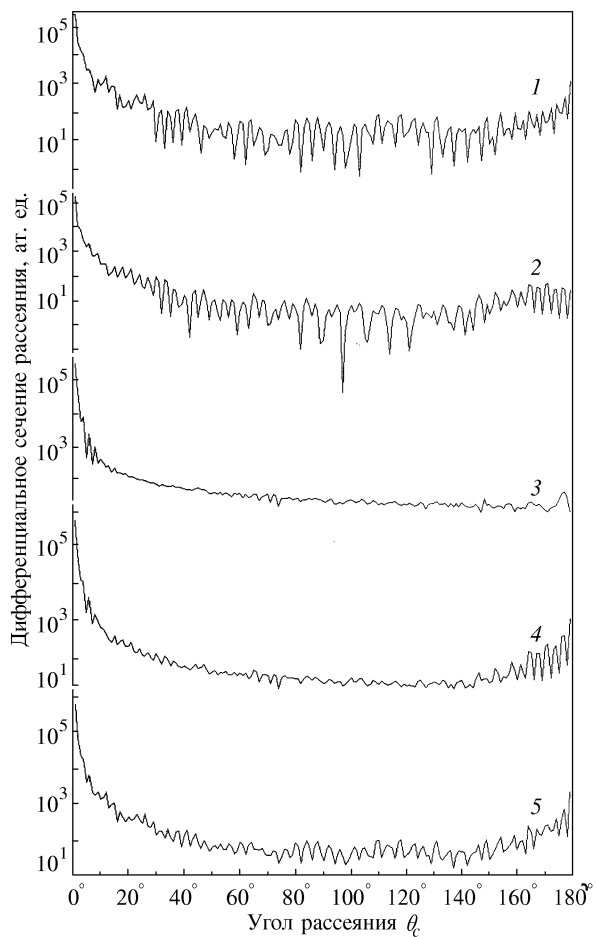


Рис. 1. Вычисленные дифференциальные сечения упругого рассеяния метастабильных атомов $\text{He}(2^{1,3}S)$ атомами $\text{Na}(3^2S)$ в системе центра масс при энергии $E = 68$ мэВ: 1 — синглетное 1S -состояние, дублетный терм; 2 — триплетное 3S -состояние, дублетный терм; 3 — триплетное 3S -состояние, квартетный терм; 4 — триплетное 3S -состояние, суммарное по обоим термам; 5 — сумма по двум состояниям

4, 5) присуща сложная структура угловой зависимости. Отметим также, что сечения рассеяния синглетного и триплетного состояний гелия по дублетным термам (кривые 1, 2) имеют как общие черты, так и отличительные особенности. В частности, абсолютное значение триплетного ДСР (кривая 2) несколько меньше синглетного (кривая 1), а их угловые зависимости в области 5° – 40° и 110° – 180° существенно различны.

3. ЭКСПЕРИМЕНТ

Эксперимент выполнялся с использованием техники пересекающихся пучков методом спектроско-

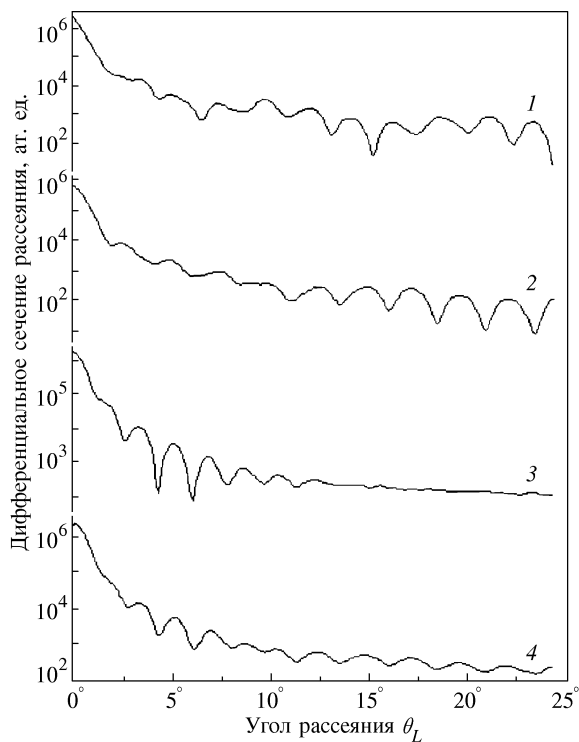


Рис. 2. То же, что на рис. 1, но в лабораторной системе без суммирования по двум состояниям гелия

ции метастабильных состояний [16]. Пучок метастабильных атомов создавался с помощью сверхзвукового источника соплового типа с продольным электронным возбуждением, а пучок атомов натрия формировался эфузионным источником щелевого типа. Детектором рассеянных метастабильных атомов служил КЭУ, позволявший измерять ДСР в диапазоне углов рассеяния $\theta_L = 0.5^\circ - 20.5^\circ$ при угловом разрешении $\Delta\theta_L = 0.5^\circ$. Шаг сканирования криевой ДСР составлял 0.5° . Из-за специфики эксперимента селекция метастабильных атомов по отдельным состояниям не проводилась, таким образом, измеренное ДСР является суммарным для обоих метастабильных состояний (синглетного и триплетного). Полученная кривая ДСР (см. рис. 3) является результатом многократного сканирования диапазона углов рассеяния, причем величина относительного статистического разброса в каждой точке экспериментальной кривой не превышала 5%. «Нейдальность» экспериментальной аппаратной функции потребовала дополнительной процедуры усреднения расчетных ДСР с учетом реальных параметров эксперимента ($\Delta\theta_L \geq 0.5^\circ$, $\Delta V_{He} = \pm 545$ м/с, $\Delta V_{Na} = \pm 140$ м/с). Кроме того, отметим, что в погрешность измерения экспериментальных кривых вносят вклад неопределенность угла рассеяния (в

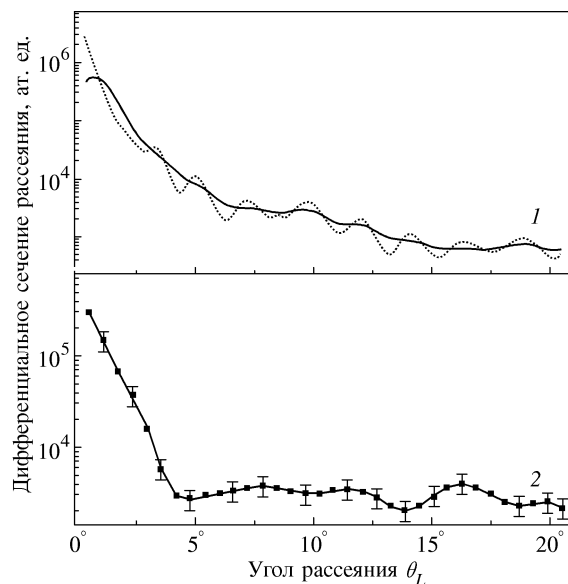


Рис. 3. Дифференциальные сечения упругого рассеяния метастабильных атомов $He(2,3S)$ атомами $Na(3^3S)$ в лабораторной системе при $E = 68$ мэВ (сумма по двум состояниям): 1 — расчет ($a_0^2/\text{стэр}$) без усреднения (штриховая кривая) и с усреднением по 1.5° (сплошная); 2 — экспериментальное сечение (отн. ед.)

среднем для всего диапазона углов $\approx 5\%$), неопределенность скорости частиц ($\approx 10\%$) и неопределенность детектирования полезного сигнала ($\approx 5\%$). Таким образом, суммарная ошибка относительных измерений с учетом усреднения экспериментальных кривых по оценке не должна превышать 25%. Доверительный интервал, определенный с учетом сканного выше, указан на рис. 3 и, как видим, не превышает амплитуды нерегулярностей сечения.

Экспериментальная кривая ДСР, представленная на рис. 3, имеет резкий спад в области малых углов рассеяния с последующими низкочастотными ($3^\circ - 5^\circ$) нерегулярностями сечения на пологом участке. Для объяснения такого хода суммарного дифференциального сечения нами с использованием предложенной выше теоретической схемы были рассчитаны ДСР в лабораторной системе.

4. ОБСУЖДЕНИЕ РЕЗУЛЬТАТОВ

Суммарные расчетные ДСР в лабораторной системе представлены на рис. 3 (кривые 1) в сравнении с экспериментом (кривая 2). Как видим, основной ход экспериментального ДСР в целом совпадает с ходом теоретического — дифракционный максимум ($\theta_L < 5^\circ$) с последующим интерференционным поведением, которое проявляется на теорети-

ческих кривых в виде высокочастотной ($\theta_L < 1^\circ$) и низкочастотной ($\theta_L \approx 3^\circ\text{--}5^\circ$) структур. Как видно на рис. 3, выполненное нами усреднение по аппаратной функции привело к сглаживанию высокочастотной структуры. Низкочастотная структура суммарного ДСР определяется в основном структурой рассеяния 2^1S -атомов гелия (см. также рис. 2). Структура ДСР обусловлена интерференцией волн рассеяния, соответствующих трем ветвям прицельного расстояния как функций углов рассеяния [17]. Эти три ветви прицельного расстояния соответствуют трем частям использованных нами оптических потенциалов: притяжение на периферии (потенциал Ван-дер-Ваальса), центральное притяжение (потенциальная яма) и центральное отталкивание на малых расстояниях. По-видимому, излом ДСР при 5° обусловлен поведением этих частей оптических потенциалов, влияющих на формирование парциальных фаз. Более того, вследствие большой глубины ямы V_{Rm} в оптическом потенциале и малой энергии столкновения E отношение E/V_{Rm} (равное 0.23 и 0.1 для 1S - и 3S -состояний) является весьма малым, и это позволяет считать, что поведение ДСР для обоих состояний гелия отражает явление орбитирования (периодические колебания неусредненных ДСР с шагом около 2° на рис. 3). При этом величина парциальных фаз, начиная с орбитального момента $l = 37$ и до $l = 76$, регулярно принимает значения, приближенно кратные π . По-видимому, экспериментальный при $\theta_L \approx 14^\circ$ и теоретический при $\theta_L \approx 15^\circ$ минимумы могут быть следствием орбитирования по $^2\Sigma^+$ -терму, в большей мере для рассеяния 2^1S -состояния гелия и в меньшей мере для состояния 2^3S .

Для рассеяния $\text{He}(2^1S)$ в [7] нами вычислена ДСР с использованием оптического потенциала из [2]. Вещественная часть этого потенциала медленно уменьшается в два раза на интервале $R = 0.1\text{--}0.5a_0$, тогда как вещественная часть оптического потенциала в [3] на этом же интервале убывает примерно в 33 раза. Мнимая часть оптического потенциала в [2] значительно больше мнимой части оптического потенциала из [3]: более чем в 10^4 раз для $R = 0.1a_0$ и в 10 раз для $R = 6a_0$. На больших же расстояниях она быстро становится значительно меньше мнимой части потенциала из [3], например, для $R = 15a_0$ — в 1500 раз. При этом $R_0 = 5.53a_0$, $R_m = 6.3a_0$, $V_{Rm} = 300$ мэВ (ср. с вышеприведенными соответствующими параметрами оптического потенциала в [3]). Вычисленное в [7] ДСР в лабораторной системе не имело низкочастотной структуры и характеризовалось монотонным поведением, в то время как качественное совпадение с результатами нашего эксперимента наблюдалось лишь на участке

до $\approx 5^\circ$. Такое поведение согласуется с результатом работы [3], где ДСР $\text{He}(2^1S)$ при $E = 52$ мэВ имеет плавный ход для оптического потенциала из [2] и излом при 5° для потенциала из [3]. Более того, ДСР, вычисленные в [7] в предположении $V_I(R) = 0$, для углов от 30° до 120° лежат выше ДСР, полученных при $V_I(R) \neq 0$, что согласуется с описанным в работе [1] поведением ДСР для рассеяния $\text{He}(2^1S) + \text{Ar}$. Таким образом, можно заключить, что оптические потенциалы из [3] в целом верно отражают природу межатомного взаимодействия рассматриваемой системы частиц.

Вычисленные нами фазы рассеяния позволили более полно описать процесс рассеяния и получить в итоге следующие сечения интегрального типа: диффузии, σ_D ; вязкости, σ_η ; упругого рассеяния, σ_{el} ; поглощения (ионизации Пеннинга), σ_i ; полное, σ [14, 15]:

$$\sigma_D(E) = 2\pi \int d\theta_c \sin \theta_c (1 - \cos \theta_c) \frac{d\sigma_{el}}{d\theta_c},$$

$$\sigma_\eta(R) = 2\pi \int d\theta_c \sin^3 \theta_c \frac{d\sigma_{el}}{d\theta_c},$$

$$\sigma_{el}(E) = \sum_l \sigma_l(E), \quad \sigma_l(E) = \frac{\pi}{k^2} (2l+1) |S_l - 1|^2, \quad (9)$$

$$\sigma_i(E) = \frac{g\pi}{k^2} \sum_l (2l+1) (1 - |S_l|^2),$$

$$\sigma(E) = \frac{2\pi}{k^2} \sum_l (2l+1)(1 - \operatorname{Re} S_l) = \sigma_{el}(E) + \sigma_i(E)$$

(см. таблицу). Вклад сечений по квартетному терму $^4\Sigma^+$ для процесса $\text{He}(2^3S) + \text{Na}(3^2S)$ по сравнению с вкладом сечений, соответствующих терму $^2\Sigma^+$, весьма велик: он сравним с последним для σ_D и превышает его в 3.5 раза для σ_η и в 2.5 и 2.3 раза для σ_{el} и σ . Нами в работе [7] отмечалось большое влияние неупругих процессов на сечение диффузии, вычисленное с оптическим потенциалом из [2] для рассеяния $\text{He}(2^1S) + \text{Na}(3^2S)$, которое уменьшается примерно в два раза.

Теоретические значения сечений ионизации Пеннинга σ_i , полученные из расчетной кривой [3] при энергии 68 мэВ, равны приблизительно $257a_0^2$ и $114a_0^2$ для $\text{He}(2^1S)$ и $\text{He}(2^3S)$ соответственно (ср. с нашими значениями σ_i из таблицы).

Кривая зависимости $\sigma_i(E)$, рассчитанной в [2] с помощью полученного в этой же работе оптического потенциала при рассеянии $\text{He}(2^1S)$, проходит систематически выше соответствующей кривой, полученной в [3]. Сечение ионизации, вычисленное нами с оптическим потенциалом из [2] $\sigma_i = 247a_0^2$, меньше полученной в этой же работе величины $\sigma_i = 332a_0^2$

**Сечения интегрального типа для процесса рассеяния $\text{He}(2^{1,3}S) + \text{Na}(3^2S)$ при энергии 68 мэВ
(в единицах a_0^2)**

Сечение	$\text{He}(2^1S) + \text{Na}(3^2S)$, дублет	$\text{He}(2^3S) + \text{Na}(3^2S)$			Общее суммарное
		Дублет	Квартет	Суммар.	
σ_{el}	2070	605	1550	2155	4225
σ_i	115	58.0	—	58.0	173
σ	2185	663	1550	2213	4398
σ_D	424	143	132	275	699
σ_η	335	65.9	243	309	644

(см. [7]). Заметим здесь, что вычисление фаз рассеяния в [3] (и, по-видимому, в [2]) было проведено в рамках только полуклассического приближения. Экспериментальное значение сечения σ_i при 50 мэВ составляет $214a_0^2$ ($\pm 100\%$) [18]. Таким образом, сечение $\sigma_i(E)$, рассчитанное в [7], имеет промежуточное значение между величинами, приведенными в работах [2] и [18], а полученная нами величина (при энергии 68 мэВ) — значительно ниже теоретической в [3].

Аналогичная картина наблюдается и для сечения ионизации при рассеянии $\text{He}(2^3S)$. Имеются два экспериментальных значения: при энергии около 40 мэВ $\sigma_i \simeq 114a_0^2$ (+5%, -10%) [19] и при 50 мэВ $\sigma_i \simeq 86a_0^2$ ($\pm 100\%$) [18]. Расчетные данные [3] лежат выше этих значений, а вычисленная нами величина (при энергии 68 мэВ) намного меньше значения σ_i в [3]. Отметим, что полученное в полуклассическом приближении в [10] значение σ_i при 68 мэВ составляет около $122a_0^2$ (с учетом статистического веса $1/3$), что значительно (более чем в два раза) выше полученного нами значения и несколько превышает σ_i в [3]. Заметим, что вещественная часть оптического потенциала в [10] — это потенциал Ленарда-Джонса (12.6) с $R_0 = 5.35a_0$, $R_m = 6.0a_0$, $V_{Rm} = 735$ мэВ, а мнимая часть имеет вид $V_I(R) = 0.6 \exp(-R)$ [ат.ед.]. Сравнение этого потенциала с аналогичным в [3] показывает, что они совпадают в области минимума потенциала и асимптотики, однако потенциал в [10] имеет более сильное отталкивание при $R < R_0$. Мнимая часть потенциала в [10] больше мнимой части потенциала из [3] в 50 раз на малых расстояниях и примерно в 1.2 раза при $R = 15a_0$.

В работе [4] обсуждается отношение сечений ионизации в процессах $\text{He}(2^1S)$, $\text{He}(2^3S) + \text{Na}$, определяемое как экспериментально, так и теоретично-

ски. При этом утверждается, что оно слабо зависит от энергии столкновения. Для энергии 70 мэВ, по данным эксперимента в [4], это отношение равно 2.8 ($\pm 30\%$), а по данным эксперимента в [20] — 3.1 ($\pm 30\%$). Из эксперимента в работе [18] следует, что для энергий 50 мэВ оно равно 2.5. Теоретические значения этого отношения систематически меньше 3, что отвечает соотношению статистических весов спин-разрешенных столкновений для этих процессов. Так, величина отношения, полученная по вычисленным нами значениям сечений ионизации (см. таблицу), равна 2.0. Величина этого же отношения по результатам работы [3] составляет 2.2 для 50 мэВ и 2.3 для 68 мэВ. В [4] с использованием оптического потенциала из [3] получено значение 2.18, в то время как с вещественной частью оптического потенциала, полученной в [4] *ab initio*, и мнимой частью из [3] оно составляет 2.15. Как видно, найденное нами значение хорошо коррелирует со всеми этими данными.

В работе [10] указывается на процесс спинового обмена, который возможен для рассеяния $\text{He}(2^3S)$ на $\text{Na}(3^2S)$. Амплитуда такого процесса равна $f(m_1, m_2; m'_1, m'_2; E, \theta_c) = (2^{1/2}/3)[f_q(E, \theta_c) - f_d(E, \theta_c)]$, где m_1, m_2, m'_1, m'_2 — проекции спинов атомов Na и He до и после столкновения соответственно ($m_1 + m_2 = m'_1 + m'_2$), а f_q и f_d — амплитуды рассеяния по квартетному (парциальная фаза $\eta_{lq}(E)$) и по дублетному (парциальная фаза $\delta_{ld}(E) = \varepsilon_{ld}(E) + i\bar{\eta}_{ld}(E)$) термам. Соответствующее полное сечение спинового обмена имеет вид

$$\sigma^{tr}(E) = \frac{2\pi}{k^2} \sum_{l=0}^{\infty} (2l+1) \times \\ \times \left\{ 1 + \eta_{ld}^2(E) - 2\eta_{ld}(E) \cos \left(2[\varepsilon_{ld}(E) - \varepsilon_{lq}(E)] \right) \right\}, \quad (10)$$

где $\eta_{ld}(E)$ связана с мнимой частью фазы $\bar{\eta}_{ld}(E)$.

Вычисленное нами значение сечения равно $\sigma^{tr}(68 \text{ мэВ}) = 300a_0^2$. При этом основная его часть ($298a_0^2$) была получена для волн с l от нуля до 149, когда ε_{ld} и η_{ld} находили из квантовомеханического расчета с использованием оптического потенциала из [3]. Фаза ε_{lq} , как мы отмечали ранее, вычислена в полуклассическом приближении с потенциалом из [10]. По данным этой работы сечение $\sigma^{tr}(68 \text{ мэВ})$ составило $200a_0^2$. Как уже указывалось выше, сечение ионизации Пеннинга для $\text{He}(2^3S)$ в [10] больше полученного нами, что свидетельствует о малых значениях η_{ld} (парциальное сечение ионизации пропорционально $1 - \eta_{ld}^2$). Следствием этого (см. формулу (10)) и является малая величина обменного сечения в [10]. Таким образом, сечение спинового обмена весьма чувствительно к мнимой части парциальных фаз, а значит, и к мнимой части используемого оптического потенциала.

5. ЗАКЛЮЧЕНИЕ

Экспериментальное и теоретическое исследование упругого рассеяния атомов $\text{He}(2^{1,3}S)$ атомами $\text{Na}(3^2S)$ при энергии 68 мэВ, выполненное в данной работе, позволило впервые интерпретировать структуру, наблюдающуюся в ДСР в диапазоне малых углов рассеяния. Так, нами обнаружено, что низкочастотная структура угловой зависимости дифференциальных сечений обусловлена интерференцией амплитуд от различных частей потенциала взаимодействия вместе с явлением орбитирования. Эта структура определяется в основном особенностями рассеяния метастабильных атомов гелия в синглетном состоянии.

Использованные нами для вычислений квантовые и полуклассические представления для системы сильно взаимодействующих атомных частиц Rg^*M в приближении оптического потенциала, при нахождении которого эта система рассматривается как автоионизационный комплекс, верно описывают характеристики процесса упругого рассеяния при данной энергии.

Сечения ионизации Пеннинга, вычисленные нами с такими оптическими потенциалами находятся в хорошем количественном согласии с имеющимися экспериментальными данными.

Полное сечение спинового обмена для рассеяния метастабильных атомов гелия в триплетном состоянии весьма чувствительно к величине мнимой части оптического потенциала, и квантовомеханическое описание при этом является определяющим.

Авторы выражают благодарность О. Б. Шпенику и И. И. Фабриканту за ценные обсуждения результатов работы, Дж. С. Коэну за предоставлен-

ные данные по оптическим потенциалам, Х. Хотопу, О. И. Зацаринному и И. О. Цапфелу за поддержку и помощь в выполнении работы.

ЛИТЕРАТУРА

1. В. Б. Леонас, *Межмолекулярные взаимодействия и столкновения атомов и молекул*, ВИНИТИ, Москва (1980).
2. H. Haberland and W. Weber, J. Phys. B **13**, 4147 (1980).
3. J. S. Cohen, R. L. Martin, and N. F. Lane, Phys. Rev. A **31**, 152 (1985).
4. A. Merz, M. W. Muller, M.-W. Ruf et al., Chem. Phys. **145**, 219 (1990).
5. M.-W. Ruf, A. J. Yencha, H. Hotop et al., Z. Phys. D **37**, 219 (1996).
6. H. Hotop, T. E. Roth, M.-W. Ruf et al., *Theoretical Chemistry Account* (1998).
7. Е. Ю. Ремета, В. И. Келемен, А. М. Завилупуло и др., Укр. физ. журн. **44**, 1077 (1999).
8. E. Yu. Remeta, V. I. Kelemen, A. V. Snegursky, and A. M. Zavilupulo, in *Proc. 19 SPIG*, Zlatibor, Yugoslavia (1998), p. 155.
9. E. Yu. Remeta and V. I. Kelemen, in *Proc. 6th EPS Conf. on Atom. and Molec. Phys. (ECAMP)*, Siena, Italy (1998), p. 4.23.
10. В. А. Картошкин, Опт. и спектр. **85**, 196 (1998).
11. В. В. Бабиков, *Метод фазовых функций в квантовой механике*, Наука, Москва (1988).
12. Ф. Калоджеро, *Метод фазовых функций в теории потенциального рассеяния*, Мир, Москва (1972).
13. Г. Корн, Т. Корн, *Справочник по математике*, Наука, Москва (1978).
14. Н. Мотт, Г. Месси, *Теория атомных столкновений*, Мир, Москва (1969).
15. Л. Д. Ландау, Е. М. Лифшиц, *Квантовая механика. Нерелятивистская теория*, Наука, Москва (1989).
16. А. В. Снегурский, А. И. Жуков, А. Н. Завилупуло, Укр. физ. журн. **39**, 300 (1994).
17. Е. Е. Никитин, С. Я. Уманский, *Неадиабатические переходы при медленных атомных столкновениях*, Атомиздат, Москва (1979).
18. H. Hotop and A. Niehaus, Z. Phys. **238**, 452 (1970).
19. C. E. Johnson, C. A. Tipton, and M. G. Robinson, J. Phys. B **11**, 927 (1978).
20. M.-W. Ruf, A. J. Yencha, and H. Hotop, Z. Phys. D **5**, 9 (1987).